

■「港湾の施設の技術上の基準・同解説」の正誤表 (H19.9.5)

上巻・p42・別表-1を以下のものに差し替える。

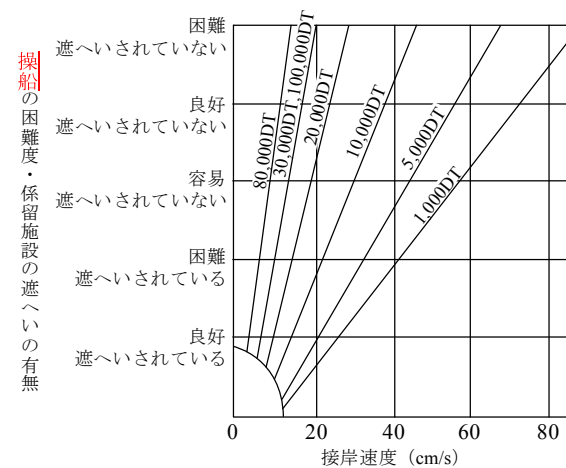
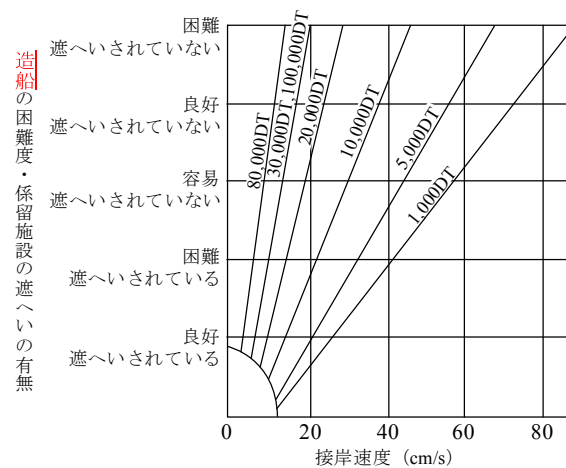
別表-1 「港湾施設」と「技術基準対象施設(港湾の施設)」の関係

施設 位置	港 湾 施 設(港湾法第二条第五項)		
	技術基準対象施設(施行令第十九条)		
	水域施設 外郭施設 係留施設 旅客乗降用固定施設及 び移動式旅客乗降用施 設	臨港交通施設 荷さばき施設 保管施設 船舶役務用施設 廃棄物埋立護岸 海浜 緑地及び広場	航行補助施設 旅客施設(旅客乗降用固定 施設を除く) 港湾公害防止施設 廃棄物処理施設(廃棄物 埋立護岸を除く) 港湾環境整備施設(海浜、 緑地及び広場を除く) 港湾厚生施設 港湾管理施設 港湾施設用地 移動式施設(移動式旅客乗 降用施設を除く) 港湾役務提供用移動施設 港湾管理用移動施設
港湾区域及び臨港地区内 (港湾区域及び臨港地区内 にない施設が港湾管理者の申請 によって設定されたものを含 む。)	技術上の基準を適用	技術上の基準を適用	技術上の基準は不適用
上記以外の区域	技術上の基準を適用		

2 上巻・p45・上から20行目
省令第___号。以下「省令」という。)

省令第**十五**号。以下「省令」という。)

3 上巻・p401・図-2.2.1



4	<p>上巻・p441・表-2.3.4 表中</p> <p>表-2.3.4 電気防食開始時の防食電流密度¹⁵⁾ (mA/m²)</p> <table border="1" data-bbox="489 220 1163 399"> <thead> <tr> <th></th> <th>清浄海域</th> <th>汚染海域</th> </tr> </thead> <tbody> <tr> <td>海水中</td> <td>100</td> <td>130~150</td> </tr> <tr> <td>石積部</td> <td>50</td> <td>65~75</td> </tr> <tr> <td>海底土中</td> <td>20</td> <td><u>30</u></td> </tr> <tr> <td>陸土中</td> <td>10</td> <td>10</td> </tr> </tbody> </table>		清浄海域	汚染海域	海水中	100	130~150	石積部	50	65~75	海底土中	20	<u>30</u>	陸土中	10	10	<p>表-2.3.4 電気防食開始時の防食電流密度¹⁵⁾ (mA/m²)</p> <table border="1" data-bbox="1685 220 2359 399"> <thead> <tr> <th></th> <th>清浄海域</th> <th>汚染海域</th> </tr> </thead> <tbody> <tr> <td>海水中</td> <td>100</td> <td>130~150</td> </tr> <tr> <td>石積部</td> <td>50</td> <td>65~75</td> </tr> <tr> <td>海底土中</td> <td>20</td> <td><u>26~30</u></td> </tr> <tr> <td>陸土中</td> <td>10</td> <td>10</td> </tr> </tbody> </table>		清浄海域	汚染海域	海水中	100	130~150	石積部	50	65~75	海底土中	20	<u>26~30</u>	陸土中	10	10
	清浄海域	汚染海域																														
海水中	100	130~150																														
石積部	50	65~75																														
海底土中	20	<u>30</u>																														
陸土中	10	10																														
	清浄海域	汚染海域																														
海水中	100	130~150																														
石積部	50	65~75																														
海底土中	20	<u>26~30</u>																														
陸土中	10	10																														
5	<p>下巻・p835・表-3.1.1 標準的な部分係数 (a) 波浪に関する変動状態 表中「基礎地盤の支持力・γ_q 分割細片の上載荷重・μ/χ_k」の数値誤り</p> <p><u>0.605</u></p>	<p><u>1.000</u></p>																														
6	<p>下巻・p860・表-3.4.1 標準的な部分係数 (a) 波浪に関する変動状態 表中「基礎地盤の支持力・γ_q 分割細片の上載荷重・μ/χ_k」の数値誤り</p> <p><u>0.367</u></p>	<p><u>1.000</u></p>																														
7	<p>下巻・p865・表-3.5.1 標準的な部分係数 (波浪に関する変動状態) 表中「基礎地盤の支持力・γ_q 分割細片の上載荷重・μ/χ_k」の数値誤り</p> <p><u>0.685</u></p>	<p><u>1.000</u></p>																														
8	<p>下巻・p868・表-3.6.1 標準的な部分係数 (波浪に関する変動状態) 表中「基礎地盤の支持力・γ_q 分割細片の上載荷重・μ/χ_k」の数値誤り</p> <p><u>0.641</u></p>	<p><u>1.000</u></p>																														
9	<p>下巻・p871・表-3.7.1 標準的な部分係数 (波浪に関する変動状態) 表中「基礎地盤の支持力・γ_q 分割細片の上載荷重・μ/χ_k」の数値誤り</p> <p><u>0.643</u></p>	<p><u>1.000</u></p>																														
<p>■ 「港湾の施設の技術上の基準・同解説」の正誤表 (H20.1.10 追加)</p>																																
10	<p>上巻・p295・図-2.1.2 地盤パラメータの特性値の設定手順の例 図中の文字誤り</p> <p><u>導出値</u>に対する<u>計測値</u>のばらつき</p>	<p><u>推定値</u>に対する<u>導出値</u>のばらつき</p>																														
11	<p>下巻・p601・式(2.4.24)</p> $R_{ad} \leq \gamma_{Rp} R_{pk} - R_{nf,max d} \frac{-b \pm \sqrt{b^2 - 4ac}}{2a}$	$R_{ad} \leq \gamma_{Rp} R_{pk} - R_{nf,max d}$																														
12	<p>下巻・p601・式(2.4.25)に対応する p602 のパラメータ σ_{fk} および $\gamma_{\sigma f}$ の定義</p> <p>σ_{fk} : <u>杭の圧縮応力度</u>の特性値 (kN/m²)</p> <p>$\gamma_{\sigma f}$: <u>杭の圧縮応力度に対する部分係数</u></p>	<p>σ_{fk} : <u>杭材の圧縮降伏応力度</u>の特性値 (kN/m²)</p> <p>$\gamma_{\sigma f}$: <u>杭材の圧縮降伏応力度に対する部分係数</u></p> <p><u>(一般に、1.0を用いることができる)</u></p>																														

13	<p>下巻・p668・式(3.2.1)およびパラメータ P_{Hd} の定義</p> $R \sum \{c_d l + (W'_d + q_d) \cos \theta \tan \phi_d\} \geq \gamma_a \left[\sum \{x(W_d + q_d) + aP_{Hd}\} \right]$ $\sum \{c_d S + (W'_d + q_d) \cos^2 \theta \tan \phi_d\} \sec \theta \geq \gamma_a \left\{ \sum (W_d + q_d) \sin \theta + \frac{1}{R} aP_{Hd} \right\}$ <p>P_{Hd} : <u>円弧すべりのすべり円内の土塊への水平作用の設計用値 (kN/m)</u></p>	$R \sum \{c_d l + (W'_d + q_d) \cos \theta \tan \phi_d\} \geq \gamma_a \left[\sum \{x(W_d + q_d) + aP_{Hd}\} \right]$ $\sum \{c_d S + (W'_d + q_d) \cos^2 \theta \tan \phi_d\} \sec \theta \geq \gamma_a \sum \left\{ (W_d + q_d) \sin \theta + \frac{1}{R} aP_{Hd} \right\}$ <p>P_{Hd} : <u>すべり円内の土塊分割片への単位長さ当たりの水平作用の設計用値 (kN/m)</u></p>
14	<p>下巻・p669・式(3.2.3)に対する p670 のパラメータ P_{Hd} の定義</p> <p>P_{Hd} : <u>円弧すべりのすべり円内の土塊への水平作用の設計用値 (kN/m)</u></p>	<p>P_{Hd} : <u>すべり円内の土塊分割片への単位長さ当たりの水平作用の設計用値 (kN/m)</u></p>
15	<p>下巻・p670・式(3.2.5)</p> $\gamma_{F_j} F_j = \frac{\sum \left\{ [c_d S + (W'_d + q_d) \tan \phi_d] \times \frac{\sec \theta}{n + \tan \theta \tan \phi_d / (\gamma_{F_j} F_j)} \right\}}{\sum \{(W_d + q_d) \sin \theta + aP_{Hd} / R\}}$	$\gamma_{F_j} F_j = \frac{\sum \left\{ [nc_d S + (W'_d + q_d) \tan \phi_d] \times \frac{\sec \theta}{n + \{\tan \theta - \tan(\beta\theta)\} \tan \phi_d / (\gamma_{F_j} F_j)} \right\}}{\sum \{(W_d + q_d) \sin \theta + aP_{Hd} / R\}}$
16	<p>下巻・p671・式(3.2.7)およびパラメータ P_{Hd} の定義</p> $\sum [c_d l + \{(W'_d + q_d) \cos \theta - P_{Hd} \sin \theta\} \tan \phi_d] \geq \gamma_a \left[\sum \{(W_d + q_d) \sin \theta + P_{Hd} \cos \theta\} \right]$ <p>P_{Hd} : <u>斜面に加わる単位長さ当たりの水平作用の設計用値 (水圧、波浪による作用、地震動による作用など) (kN/m)</u></p>	$\sum [c_d l + \{(W'_d + q_d) \cos \theta - P_{Hd} \sin \theta\} \tan \phi_d] \geq \gamma_a \sum \{(W_d + q_d) \sin \theta + P_{Hd} \cos \theta\}$ <p>P_{Hd} : <u>斜面の分割片に加わる単位長さ当たりの水平作用の設計用値 (水圧、波浪による作用、地震動による作用など) (kN/m)</u></p>
17	<p>下巻・p711・上から12行目</p> <p>水中に使用するもの : $\gamma_{tk} = 12 \text{ kN/m}^3$</p>	<p>水中に使用するもの : $\gamma_{tk} = 11.5 \sim 12 \text{ kN/m}^3$</p>
18	<p>下巻・p784・式(2.3.30)</p> $\theta_{v2} = \arctan \left(\frac{H_L - H_h}{L_L} \right) - \arctan \left(\frac{H_H - H_h}{L_H} \right)$	$\theta_{v2} = \arctan \left(\frac{H_L - H_h}{L_L} \right) - \arctan \left(\frac{H_L - H_h}{L_H} \right)$
19	<p>下巻・p1030・上から3,4行目</p> <p>σ_l : 杭の軸方向力による応力度 (N/mm²) σ_t : 杭の曲げモーメントによる応力度 (N/mm²)</p>	<p>σ_l : 杭の軸方向応力度 (N/mm²) σ_t : 杭の二次応力度 (N/mm²)</p>
20	<p>下巻・p1120・表-5.2.1 軸方向圧縮降伏応力度 表中 c) の不等号の向き</p> <p>c) $\frac{1}{r} < 92$ のとき c) $\frac{1}{r} < 79$ のとき</p>	<p>c) $\frac{1}{r} > 92$ のとき c) $\frac{1}{r} > 79$ のとき</p>

21	<p>下巻・p1129・式(5.2.13)のパラメータγ_c およびγ_b の 定義</p> <p>γ_c: コンクリートの材料係数 (=1.0)</p> <p>γ_b: 部分係数 (=1.3としてよい)</p>	<p>γ_c: コンクリートの材料係数 (=1.3)</p> <p>γ_b: 部分係数 (=1.0としてよい)</p>
22	<p>下巻・p1272・表-2.2.11 業種別敷地面積㎡当たり年間出荷量原単位 表中「産業種別: 窯業・土石製品 事業所敷地面積規模階層: 10,000~19,999 ㎡」の数値誤り</p> <p><u>43.00</u></p>	<p><u>4.30</u></p>
23	<p>上巻・p161・式(4.3.24)</p> $C_0 = \left(\frac{\bar{\eta}_{x=0} + h}{H_0'} \right) + \frac{3}{8} \beta \left(\frac{H_{x=0}}{H_0'} \right)$	$C_0 = \left(\frac{\bar{\eta}_{x=0} + h}{H_0'} \right)^2 + \frac{3}{8} \beta \left(\frac{H_{x=0}}{H_0'} \right)^2$